



Laboratorium EMVO Sp. J. Urbański, Pawelak

ul. Jasna 1
00-013 Warszawa

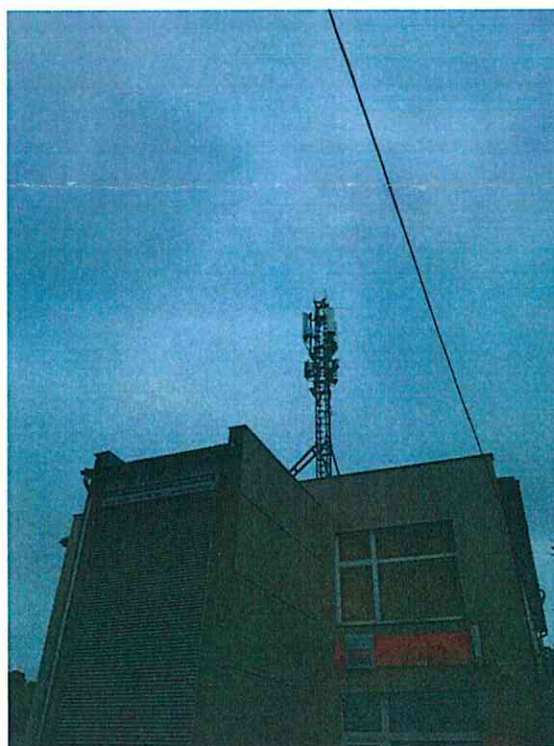
tel. +48 22 780 29 64

e-mail: laboratorium@emvo.pl



AB 1630

Sprawozdanie z pomiarów pól elektromagnetycznych - środowisko ogólne nr 06/07/OŚ/2021 - ELT



| | | |
|-------------------|--|--------------------------|
| Nr i nazwa stacji | BT43769 GDANSK_LOSTOWICE | |
| Adres | Gdańsk, ul. Świętokrzyska 62, dz. nr 187/4, pow. Gdańsk, woj. pomorskie | |
| Opracowanie | Marcin Belicki | Specjalista ds. pomiarów |
| Autoryzacja | Andrzej Urbański | Kierownik Laboratorium |
| Podpis | Podpis jest prawidłowy Dokument podpisany przez Andrzej Urbański Data: 2021.07.12 07:21:34 CEST Powód: Zatwierdzam dokument | |
| Data | 2021-07-09 | |

| | |
|---|--|
| | <p>Wzorców i Metrologii Pola Elektromagnetycznego, Instytut Telekomunikacji, Teleinformatyki i Akustyki Politechniki Wrocławskiej. Świadectwo ważne do 01.06.2022r.</p> |
| Wyposażenie pomocnicze | <p>Miernik Narda NBM 550, Sonda EF 9091 pracuje w zakresie temperatury -10°C - +50°C oraz wilgotności 5% - 95%</p> |
| | <p>Niepewność rozszerzona wynosi 58,8% przy poziomie ufności 95% z uwzględnieniem współczynnika rozszerzenia k=2.</p> |
| | <p>Termohigrometr Bestone, typ: GM1362-EN-00, nr identyfikacyjny 1222436, świadectwo wzorcowania z dn. 22.12.2015 r. wydane przez Laboratorium Pomiarowe "MUTECH".</p> |
| | <p>Przymiar wstępowy STABILA, nr identyfikacyjny 5/WL/2016, świadectwo wzorcowania z dn. 06.09.2016 r. wydane przez Zespół Laboratoriów wzorcujących Okręgowego Urzędu Miar w Gdańsku.</p> |
| | <p>GPS Garmin 64s okresowo sprawdzany w punktach osnowy geodezyjnej klasy 3 na podstawie licencji punktu, zgodnie z procedurą sprawdzeń okresowych IS/PO-16-11/03.</p> |
| Pomiary zostały wykonane | <ol style="list-style-type: none"> 1. na głównych i pomocniczych kierunkach pomiarowych, na kierunkach zbliżonych do azymutów anten oraz w dodatkowych pionach pomiarowych zgodnie z wymaganiami pkt 12, 13, 14 i 19 załącznika do rozporządzenia Ministra Klimatu z dnia 17 lutego 2020 r. (Dz. U. 2020, poz. 258), |
| | <ol style="list-style-type: none"> 2. na obszarze pomiarowym, dla którego, na podstawie uprzednio wykonanych obliczeń uzyskanych od zleceniodawcy, stwierdzono możliwość występowania pól elektromagnetycznych o poziomach zbliżonych do poziomów dopuszczalnych zgodnie z wymaganiami pkt 5 ppkt 2 oraz pkt 13 ppkt 1 załącznika do rozporządzenia Ministra Klimatu z dnia 17 lutego 2020 r. (Dz. U. 2020, poz. 258). Wyniki obliczeń nie uwzględniały parametrów pracy instalacji innych operatorów występujących na obiekcie bądź w obszarze pomiarowym. |
| | <ol style="list-style-type: none"> 3. w miejscach dostępnych dla ludności. |
| | <ol style="list-style-type: none"> 4. miejsca niedostępne podczas wykonywania pomiarów wskazane zostały w pkt 6 (tabeli wyniki pomiarów) |
| | <ol style="list-style-type: none"> 5. wyniki pomiarów uzyskane zostały przy uwzględnieniu poprawek pomiarowych przekazanych przez zleceniodawcę oraz przy rzeczywistych warunkach pracy instalacji innych operatorów (w przypadku występowania). W takiej sytuacji uwzględniono jednolitą poprawkę pomiarową wynoszącą 1,65 |
| Szczególne warunki podczas wykonywania pomiarów | <p>Pomiary wykonane zostały podczas obowiązywania w kraju stanu epidemii, zgodnie z art. 122a ust. 1b Ustawy z dnia 27 kwietnia 2001 r. – Prawo ochrony środowiska (Dz. U. z 2019 r. poz. 1396, z późn. zm.9))</p> |
| Warunki pracy urządzeń nadawczych | <p>Podczas pomiarów zostały uwzględnione poprawki pomiarowe przekazane przez zleceniodawcę, umożliwiające uwzględnienie maksymalnych parametrów pracy instalacji zgodnie z pkt 7 załącznika do Rozporządzeniem Ministra Klimatu z dnia 17 lutego 2020 r. w sprawie sposobów sprawdzania dotrzymania dopuszczalnych poziomów pól elektromagnetycznych w środowisku (Dz. U. 2020, poz. 258).</p> |

4. Zróżnicowanie dopuszczalne poziomy pól elektromagnetycznych.

Zakresy znajdują się w Dzienniku Ustaw z dnia 17 grudnia 2019 r. przedstawione są w tabeli nr 2 (Dz. U. z 2019r. poz. 2448).

| Parametr fizyczny | Składowa elektryczna E (V/m) | Składowa magnetyczna H (A/m) | Gęstość mocy S (W/m ²) |
|---|------------------------------|------------------------------|------------------------------------|
| Zakres Częstotliwości pola elektromagnetycznego | | | |
| od 400 MHz do 2000 MHz | $1,375 \times f^{0,5}$ | $0,0037 \times f^{0,5}$ | $f / 200$ |
| od 2 GHz do 300 GHz | 61 | 0,16 | 10 |

5. Charakterystyka źródeł PEM.

Zgodnie z informacją otrzymaną od Klienta pomiary zostały wykonane przy ustawieniach pochyleń anten zgodnych z pkt. 13, ppkt 2 załącznika do rozporządzenia Ministra Klimatu z dnia 17 lutego 2020 roku.

Anteny sektorowe – dane otrzymane od klienta

| Typ anteny | Współrzędne geograficzne | Azymut mechaniczny [°] | Azymut elektryczny [°] | Wysokość zawieszenia anten (środek anteny) n.p.t. [m] | Pasma częstotliwości [MHz] | Zakres pochyleń elektrycznego [°] | Średnie pochylenie anten (ustawione do pomiarów PEM) [°] | Zakres pochyleń mechanicznego [°] | Moc EIRP [W] | Suma EIRP [W] |
|---------------|------------------------------------|------------------------|------------------------|---|----------------------------|-----------------------------------|--|-----------------------------------|--------------|---------------|
| AQU4518R14V07 | E: 18° 35' 38" N: 54° 19' 12,7" | 0 | 0 | 19,20 | 1800 | 2,0 - 2,0 | 2,0 | -1,2 | 2841 | 15829 |
| | | | | | 2600 | 2,0 - 2,0 | 2,0 | | 8866 | |
| | | | | | 900 | 0,0 - 2,0 | 2,0 | | 4122 | |
| AQU4518R14V07 | E: 18° 35' 38" N: 54° 19' 12,7" | 120 | 120 | 19,20 | 1800 | 2,0 - 2,7 | 2,4 | 0,0 | 2841 | 15829 |
| | | | | | 2600 | 2,0 - 2,7 | 2,4 | | 8866 | |
| | | | | | 900 | 0,0 - 2,7 | 2,4 | | 4122 | |
| AQU4518R14V07 | E: 18° 35' 38" N: 54° 19' 12,7" | 240 | 240 | 19,20 | 1800 | 2,0 - 2,5 | 2,3 | 0,0 | 2841 | 15829 |
| | | | | | 2600 | 2,0 - 2,5 | 2,3 | | 8866 | |
| | | | | | 900 | 0,0 - 2,5 | 2,3 | | 4122 | |

Anteny radioliniowe – dane otrzymane od klienta

| Typ anteny | Współrzędne geograficzne | Azymut [°] | Średnica [m] | Pasma częstotliwości [GHz] | Zysk energetyczny [dBi] | Moc wyjściowa nadajnika [dBm] | EIRP [W] | Wysokość zawieszenia anteny n.p.t. [m] |
|------------|------------------------------------|------------|--------------|----------------------------|-------------------------|-------------------------------|----------|--|
| HAE2-80 | E: 18° 35' 38" N: 54° 19' 12,7" | 255 | 0,6 | 80 | 50,8 | 0 | 120,23 | 20,5 |

6. Wyniki pomiarów.

Wyniki pomiarów pól elektromagnetycznych dla celów ochrony środowiska przedstawia poniższa tabela. Piony pomiarowe zostały przedstawione w zał. 2.

| Nr PP | Pole-E [V/m] | Pole-E*kE,+U [V/m] | Pole-H [A/m] | Pole-H*kE,+U [A/m] | Wys. pomiaru [m] | Opis pionu | Uwagi | WME | WMH |
|-------|--------------|--------------------|--------------|--------------------|------------------|--------------------------------------|---|-------|-------|
| 1 | 1,9 | 4,98 | 0,005 | 0,013 | 1,8 | N: 54° 19' 12,2" E: 18° 35' 40,4" | otoczenie stacji nadawczej - ok. 50 m od obiektu wzdłuż gł. osi promieniowania - GKP | 0,178 | 0,175 |
| 2 | 1,2 | 3,14 | 0,003 | 0,008 | 2,0 | N: 54° 19' 10,7" E: 18° 35' 42,1" | otoczenie stacji nadawczej - ok. 100 m od obiektu wzdłuż gł. osi promieniowania - GKP | 0,112 | 0,111 |
| 3 | 1,6 | 4,19 | 0,004 | 0,011 | 1,5 | N: 54° 19' 10,9" E: 18° 35' 44,9" | otoczenie stacji nadawczej - ok. 150 m od obiektu wzdłuż gł. osi promieniowania - GKP | 0,150 | 0,148 |
| 4 | 1,2 | 3,14 | 0,003 | 0,008 | 1,4 | N: 54° 19' 9,6" E: 18° 35' 47,4" | otoczenie stacji nadawczej - ok. 200 m od obiektu wzdłuż gł. osi promieniowania - GKP | 0,112 | 0,111 |
| 5 | 2,4 | 6,29 | 0,006 | 0,017 | 2,0 | N: 54° 19' 12" E: 18° 35' 35,4" | otoczenie stacji nadawczej - ok. 50 m od obiektu wzdłuż gł. osi promieniowania - GKP | 0,225 | 0,221 |

| | | | | | | | | | |
|----|-----|------|-------|-------|-----|--------------------------------------|---|-------|-------|
| 6 | 1,8 | 4,72 | 0,005 | 0,013 | 1,6 | N: 54° 19' 11" E: 18° 35' 32,7" | otoczenie stacji nadawczej - ok. 100 m od obiektu wzdłuż gł. osi promieniowania - GKP | 0,168 | 0,166 |
| 7 | 1,9 | 4,98 | 0,005 | 0,013 | 1,5 | N: 54° 19' 10,2" E: 18° 35' 31,3" | otoczenie stacji nadawczej - ok. 150 m od obiektu wzdłuż gł. osi promieniowania - GKP | 0,178 | 0,175 |
| 8 | 1,8 | 4,72 | 0,005 | 0,013 | 1,5 | N: 54° 19' 9,4" E: 18° 35' 28,5" | otoczenie stacji nadawczej - ok. 200 m od obiektu wzdłuż gł. osi promieniowania - GKP | 0,168 | 0,166 |
| 9 | 2,2 | 5,76 | 0,006 | 0,015 | 1,4 | N: 54° 19' 14,3" E: 18° 35' 38" | otoczenie stacji nadawczej - ok. 50 m od obiektu wzdłuż gł. osi promieniowania - GKP | 0,206 | 0,203 |
| 10 | 1,3 | 3,41 | 0,003 | 0,009 | 1,5 | N: 54° 19' 15,9" E: 18° 35' 38" | otoczenie stacji nadawczej - ok. 100 m od obiektu wzdłuż gł. osi promieniowania - GKP | 0,122 | 0,120 |
| 11 | 1,5 | 3,93 | 0,004 | 0,010 | 1,5 | N: 54° 19' 17,8" E: 18° 35' 39,3" | otoczenie stacji nadawczej - ok. 150 m od obiektu wzdłuż gł. osi promieniowania - GKP | 0,140 | 0,138 |
| 12 | 1,4 | 3,67 | 0,004 | 0,010 | 1,6 | N: 54° 19' 19,2" E: 18° 35' 38" | otoczenie stacji nadawczej - ok. 200 m od obiektu wzdłuż gł. osi promieniowania - GKP | 0,131 | 0,129 |
| 13 | 0,8 | 2,10 | 0,002 | 0,006 | 1,6 | N: 54° 19' 17,2" E: 18° 35' 39,9" | otoczenie stacji nadawczej - PKP | 0,075 | 0,074 |
| 14 | 0,9 | 2,36 | 0,002 | 0,006 | 1,8 | N: 54° 19' 15,9" E: 18° 35' 39,1" | otoczenie stacji nadawczej - PKP | 0,084 | 0,083 |
| 15 | 0,8 | 2,10 | 0,002 | 0,006 | 1,5 | N: 54° 19' 13,7" E: 18° 35' 40,1" | otoczenie stacji nadawczej - PKP | 0,075 | 0,074 |
| 16 | 0,9 | 2,36 | 0,002 | 0,006 | 1,7 | N: 54° 19' 11,8" E: 18° 35' 43,3" | otoczenie stacji nadawczej - PKP | 0,084 | 0,083 |
| 17 | 1,2 | 3,14 | 0,003 | 0,008 | 1,3 | N: 54° 19' 11,6" E: 18° 35' 45,7" | otoczenie stacji nadawczej - PKP | 0,112 | 0,111 |
| 18 | 1,1 | 2,88 | 0,003 | 0,008 | 1,9 | N: 54° 19' 9,9" E: 18° 35' 44,6" | otoczenie stacji nadawczej - PKP | 0,103 | 0,101 |
| 19 | 1,2 | 3,14 | 0,003 | 0,008 | 1,8 | N: 54° 19' 10,1" E: 18° 35' 41,6" | otoczenie stacji nadawczej - PKP | 0,112 | 0,111 |
| 20 | 1,3 | 3,41 | 0,003 | 0,009 | 1,6 | N: 54° 19' 11,5" E: 18° 35' 38,4" | otoczenie stacji nadawczej - PKP | 0,122 | 0,120 |
| 21 | 1,2 | 3,14 | 0,003 | 0,008 | 1,8 | N: 54° 19' 10,2" E: 18° 35' 34" | otoczenie stacji nadawczej - PKP | 0,112 | 0,111 |
| 22 | 1,1 | 2,88 | 0,003 | 0,008 | 1,4 | N: 54° 19' 9,7" E: 18° 35' 31,6" | otoczenie stacji nadawczej - PKP | 0,103 | 0,101 |
| 23 | 1,2 | 3,14 | 0,003 | 0,008 | 1,7 | N: 54° 19' 11,3" E: 18° 35' 30,1" | otoczenie stacji nadawczej - ok. 150 m od obiektu wzdłuż gł. osi promieniowania - GKP | 0,112 | 0,111 |
| 24 | 1,3 | 3,41 | 0,003 | 0,009 | 1,6 | N: 54° 19' 11,7" E: 18° 35' 32,7" | otoczenie stacji nadawczej - ok. 100 m od obiektu wzdłuż gł. osi promieniowania - GKP | 0,122 | 0,120 |
| 25 | 1,2 | 3,14 | 0,003 | 0,008 | 1,7 | N: 54° 19' 13,3" E: 18° 35' 35,8" | otoczenie stacji nadawczej - PKP | 0,112 | 0,111 |
| 26 | 1,3 | 3,41 | 0,003 | 0,009 | 1,2 | N: 54° 19' 15,7" E: 18° 35' 36,2" | otoczenie stacji nadawczej - PKP | 0,122 | 0,120 |
| 27 | 1,3 | 3,41 | 0,003 | 0,009 | 1,3 | N: 54° 19' 17,3" E: 18° 35' 36,7" | otoczenie stacji nadawczej - PKP | 0,122 | 0,120 |
| A | 1,5 | 3,93 | 0,004 | 0,010 | 1,3 | N: 54° 19' 12,7" E: 18° 35' 37,8" | ul. Świętokrzyska 62, pomiar przed wejściem - DPP | 0,140 | 0,138 |
| B | 1,9 | 4,98 | 0,005 | 0,013 | 1,2 | N: 54° 19' 12,8" E: 18° 35' 39,3" | ul. Świętokrzyska 60, pomiar przed wejściem - DPP | 0,178 | 0,175 |
| C | 1,4 | 3,67 | 0,004 | 0,010 | 1,6 | N: 54° 19' 13,7" E: 18° 35' 41,8" | ul. Świętokrzyska 58, pomiar przed wejściem - DPP | 0,131 | 0,129 |
| D | 1,2 | 3,14 | 0,003 | 0,008 | 1,3 | N: 54° 19' 14,5" E: 18° 35' 40,8" | ul. Świętokrzyska 58A, pomiar przed wejściem - DPP | 0,112 | 0,111 |
| E | 1,2 | 3,14 | 0,003 | 0,008 | 1,3 | N: 54° 19' 15,4" E: 18° 35' 40,3" | ul. Świętokrzyska 58B, pomiar przed wejściem - DPP | 0,112 | 0,111 |
| F | 0,9 | 2,36 | 0,002 | 0,006 | 1,3 | N: 54° 19' 14" E: 18° 35' 36,6" | ul. Świętokrzyska 62A, pomiar przed wejściem - DPP | 0,084 | 0,083 |
| G | 1,1 | 2,88 | 0,003 | 0,008 | 1,4 | N: 54° 19' 13,1" E: 18° 35' 34,8" | ul. Świętokrzyska 64, pomiar przed wejściem - DPP | 0,103 | 0,101 |
| H | 1,3 | 3,41 | 0,003 | 0,009 | 1,3 | N: 54° 19' 11,1" E: 18° 35' 34,9" | ul. Świętokrzyska 64, pomiar przed wejściem - DPP | 0,122 | 0,120 |
| I | 1,8 | 4,72 | 0,005 | 0,013 | 1,3 | N: 54° 19' 11,6" E: 18° 35' 36,1" | ul. Świętokrzyska 64, pomiar przed wejściem - DPP | 0,168 | 0,166 |
| J | 1,3 | 3,41 | 0,003 | 0,009 | 1,5 | N: 54° 19' 10,9" E: 18° 35' 38,1" | ul. Świętokrzyska 57, pomiar przed wejściem - DPP | 0,122 | 0,120 |
| K | 1,4 | 3,67 | 0,004 | 0,010 | 1,5 | N: 54° 19' 10,4" E: 18° 35' 36,3" | ul. Świętokrzyska 59, pomiar przed wejściem - DPP | 0,131 | 0,129 |

| | | | | | | | | | |
|----|-------|------|--------|--------|-----------|--------------------------------------|--|--------|--------|
| L | 1,9 | 4,98 | 0,005 | 0,013 | 1,5 | N: 54° 19' 11,6" E: 18° 35' 39,7" | ul. Świętokrzyska 53, pomiar przed wejściem - DPP | 0,178 | 0,175 |
| M | 1,3 | 3,41 | 0,003 | 0,009 | 1,3 | N: 54° 19' 12" E: 18° 35' 41,8" | ul. Świętokrzyska 51, pomiar przed wejściem - DPP | 0,122 | 0,120 |
| N | 0,9 | 2,36 | 0,002 | 0,006 | 1,8 | N: 54° 19' 11,2" E: 18° 35' 42,7" | ul. Świętokrzyska 51A, pomiar przed wejściem - DPP | 0,084 | 0,083 |
| O | 1,6 | 4,19 | 0,004 | 0,011 | 1,3 | N: 54° 19' 11,5" E: 18° 35' 33,6" | ul. Świętokrzyska 66A, pomiar przed wejściem - DPP | 0,150 | 0,148 |
| P | 1,6 | 4,19 | 0,004 | 0,011 | 1,3 | N: 54° 19' 10,8" E: 18° 35' 33,5" | ul. Świętokrzyska 66, pomiar przed wejściem - DPP | 0,150 | 0,148 |
| Q | 1,7 | 4,45 | 0,005 | 0,012 | 1,6 | N: 54° 19' 10,4" E: 18° 35' 32,5" | ul. Świętokrzyska 68, pomiar przed wejściem - DPP | 0,159 | 0,157 |
| R | 2,2 | 5,76 | 0,006 | 0,015 | 1,2 | N: 54° 19' 10,5" E: 18° 35' 30,7" | ul. Świętokrzyska 70, pomiar przed wejściem - DPP | 0,206 | 0,203 |
| S | 1,5 | 3,93 | 0,004 | 0,010 | 1,6 | N: 54° 19' 9,9" E: 18° 35' 30,3" | ul. Świętokrzyska 70, pomiar przed wejściem - DPP | 0,140 | 0,138 |
| T | 1,5 | 3,93 | 0,004 | 0,010 | 1,3 | N: 54° 19' 10,2" E: 18° 35' 46,1" | ul. Świętokrzyska 51c, pomiar przed wejściem - DPP | 0,140 | 0,138 |
| U | 1,6 | 4,19 | 0,004 | 0,011 | 1,7 | N: 54° 19' 10,2" E: 18° 35' 43,1" | ul. Świętokrzyska 51b, pomiar przed wejściem - DPP | 0,150 | 0,148 |
| V | 0,8 | 2,10 | 0,002 | 0,006 | 1,9 | N: 54° 19' 15,1" E: 18° 35' 34,8" | ul. II Brygady 84, pomiar przed wejściem - DPP | 0,075 | 0,074 |
| W | <0,8* | <2,1 | <0,003 | <0,006 | 0,3 - 2,0 | N: 54° 19' 15,7" E: 18° 35' 35,1" | ul. II Brygady 82, pomiar przed wejściem - DPP | <0,075 | <0,074 |
| X | <0,8* | <2,1 | <0,003 | <0,006 | 0,3 - 2,0 | N: 54° 19' 16,2" E: 18° 35' 35,6" | ul. II Brygady 80, pomiar przed wejściem - DPP | <0,075 | <0,074 |
| Y | 1,3 | 3,41 | 0,003 | 0,009 | 1,2 | N: 54° 19' 16,5" E: 18° 35' 37,7" | ul. II Brygady 74, pomiar przed wejściem - DPP | 0,122 | 0,120 |
| Z | <0,8* | <2,1 | <0,003 | <0,006 | 0,3 - 2,0 | N: 54° 19' 17,3" E: 18° 35' 38,6" | ul. I Brygady 60, pomiar przed wejściem - DPP | <0,075 | <0,074 |
| ZA | <0,8* | <2,1 | <0,003 | <0,006 | 0,3 - 2,0 | N: 54° 19' 17,6" E: 18° 35' 37,7" | ul. I Brygady 58, pomiar przed wejściem - DPP | <0,075 | <0,074 |
| ZB | <0,8* | <2,1 | <0,003 | <0,006 | 0,3 - 2,0 | N: 54° 19' 18,6" E: 18° 35' 37,5" | ul. I Brygady 52, pomiar przed wejściem - DPP | <0,075 | <0,074 |

wynik pomiaru pole - E [V/m] - maksymalna wartość chwilowa zmierzona w danych pionie pomiarowym

* poniżej czułości zestawu pomiarowego

GKP – główne kierunki pomiarowe

PKP – pomocnicze kierunki pomiarowe

DPP – dodatkowe punkty pomiarowe

PP – pion pomiarowy

U – niepewność pomiarowa dla współczynnika rozszerzenia $k=2$

k_E – poprawka pomiarowa badanej instalacji radiokomunikacyjnej podana przez operatora ($k_E=1,65$),

poprawka pomiarowa w przypadku oddziaływania innych instalacji radiokomunikacyjnych na badany obszar ($k_E=2,0$)

WME – wartość wskaźnikowa poziomu emisji pól elektromagnetycznych dla miejsc dostępnych dla ludności dla składowej elektrycznej pola

WMH – wartość wskaźnikowa poziomu emisji pól elektromagnetycznych dla miejsc dostępnych dla ludności dla składowej magnetycznej pola

Przyjęto najniższą dopuszczalną wartość składowej elektrycznej pola dla objętego pomiarami zakresu częstotliwości $\min(ME_{gr})=28,000$ V/m oraz składowej magnetycznej $\min(MH_{gr})=0,075$ A/m.

7. Stwierdzenie zgodności

Na podstawie wytycznych podanych w Rozporządzeniu Ministra Zdrowia z dnia 17 grudnia 2019 r. w sprawie dopuszczalnych poziomów pól elektromagnetycznych w środowisku (Dz.U. 2019 poz. 2448) oraz sposobów sprawdzania dotrzymania tych poziomów zgodnie z Rozporządzeniem Ministra Klimatu z dnia 17 lutego 2020 r. w sprawie sposobów sprawdzania dotrzymania dopuszczalnych poziomów pól elektromagnetycznych w środowisku (Dz.U. 2020 poz. 258) dotyczących źródła wymagań, które muszą być spełnione (załącznik do rozporządzenia Ministra Klimatu z dnia 17 lutego 2020 r. (poz. 258)), w oparciu o zasadę podejmowania decyzji zgodną z pkt 26 załącznika do rozporządzenia Ministra Klimatu z dnia 17 lutego 2020 r. (poz. 258), na podstawie wyników pomiarów pól elektromagnetycznych wykonanych w dniu 09.07.2021r. stwierdzono, iż w miejscach dostępnych dla ludności, dopuszczalne poziomy pól elektromagnetycznych w środowisku, określone w przepisach wydanych na podstawie

art. 122 ust. 1 ustawy z dnia 27 kwietnia 2001 r. – Prawo ochrony środowiska, uznaje się za dotrzymane w obszarze pomiarowym, w którym w wyniku zastosowania sposobu sprawdzenia dotrzymania dopuszczalnych poziomów pól elektromagnetycznych w środowisku, udokumentowano, że żadna z wartości wskaźnikowych nie przekracza wartości 1.

8. Oświadczenie.

Wyniki badania odnoszą się wyłącznie do badanego obiektu.

Bez pisemnej zgody sprawozdanie nie może być powielane inaczej, jak tylko w całości.

Uwagi i zastrzeżenia przyjmowane są w formie pisemnej w ciągu 14 dni od daty otrzymania sprawozdania.

9. Spis załączników.

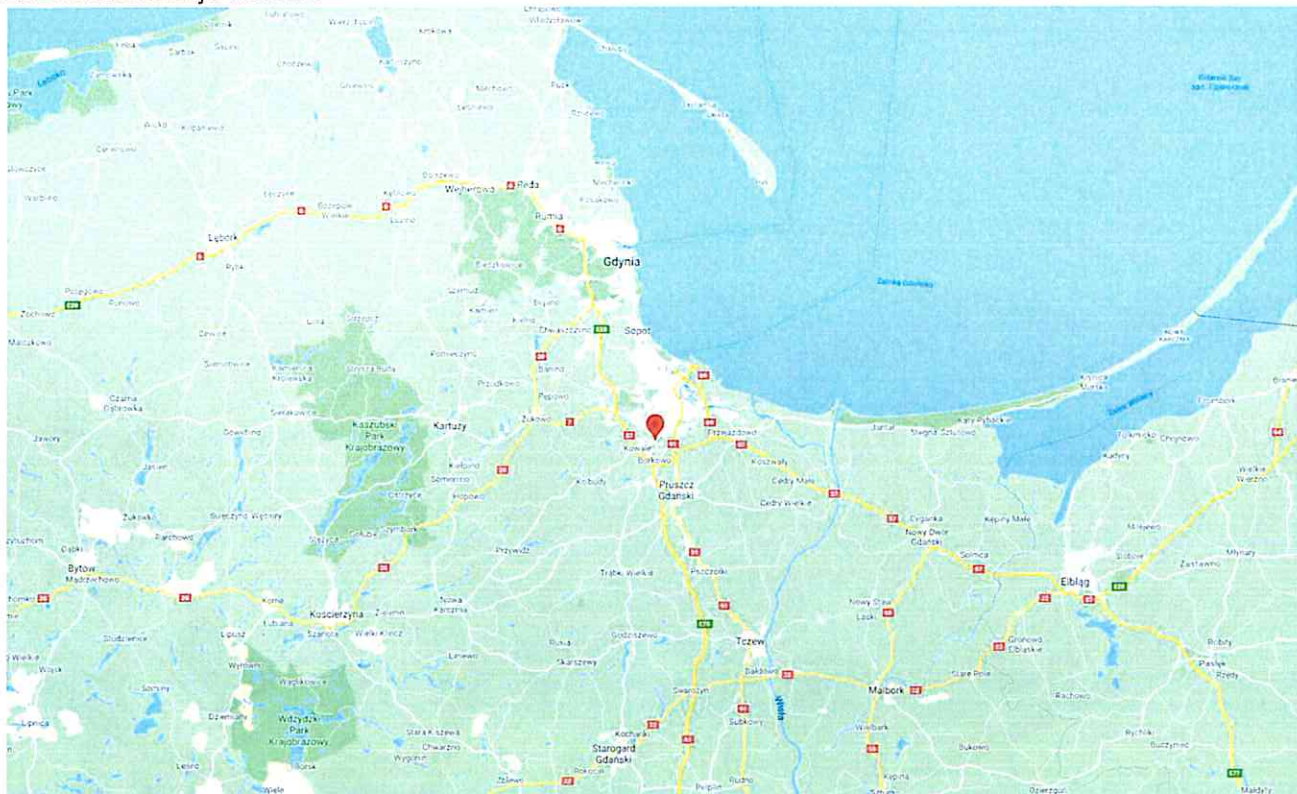
Zał. 1. Lokalizacja obiektu.

Zał. 2. Widok pionów pomiarowych

Zał. 3. Załączniki graficzne.

Koniec sprawozdania

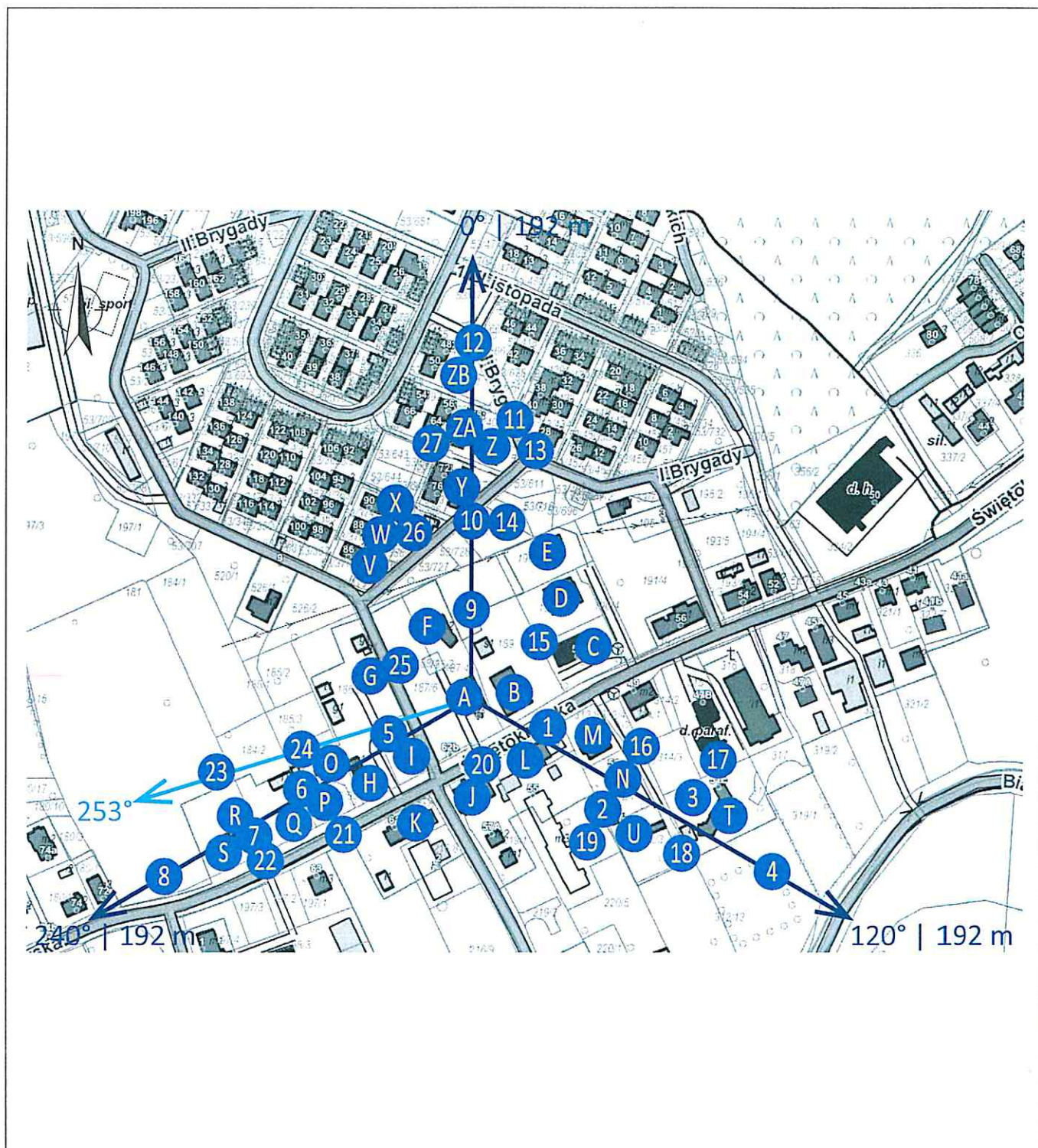
Zał. 1. Lokalizacja obiektu




województwo: pomorskie


| | |
|--------------------------|------------------|
| Współrzędne geograficzne | |
| długość: | E: 18° 35' 38" |
| szerokość: | N: 54° 19' 12,7" |


Załącznik 2. Widok pionów pomiarowych





LEGENDA:


 inna instalacja radiokomunikacyjna

 punkt pomiarowy z poprawką pomiarową podaną przez operatora

 brak dostępu

 punkt pomiarowy będący w zasięgu innych instalacji radiokomunikacyjnych z poprawką pomiarową 2,0

 antena sektorowa

 antena radioliniowa

Odległość, do której zostały wykonane pomiary mierzząc od instalacji antenowej wynosi min. 192 m.

Skala: 1:3100

Załącznik 3. Załączniki graficzne.



